

# Starkniederschlagshöhen und -spenden gemäß KOSTRA-DWD-2020

## Rasterfeld 62179

(Zeile 62, Spalte 179)

### Regenspende und Bemessungsniederschlagswerte in Abhängigkeit von Wiederkehrzeit T und Dauerstufe D

| Dauerstufe D |     | Wiederkehrzeit T |            |      |            |      |            |      |            |      |            |       |            |       |            |       |            |       |            |
|--------------|-----|------------------|------------|------|------------|------|------------|------|------------|------|------------|-------|------------|-------|------------|-------|------------|-------|------------|
|              |     | 1 a              |            | 2 a  |            | 3 a  |            | 5 a  |            | 10 a |            | 20 a  |            | 30 a  |            | 50 a  |            | 100 a |            |
| min          | Std | mm               | l / (s ha) | mm   | l / (s ha) | mm   | l / (s ha) | mm   | l / (s ha) | mm   | l / (s ha) | mm    | l / (s ha) | mm    | l / (s ha) | mm    | l / (s ha) | mm    | l / (s ha) |
| 5            |     | 5,6              | 186,7      | 6,8  | 226,7      | 7,6  | 253,3      | 8,7  | 290,0      | 10,2 | 340,0      | 11,8  | 393,3      | 12,8  | 426,7      | 14,1  | 470,0      | 16,0  | 533,3      |
| 10           |     | 7,5              | 125,0      | 9,3  | 155,0      | 10,4 | 173,3      | 11,8 | 196,7      | 13,8 | 230,0      | 15,9  | 265,0      | 17,3  | 288,3      | 19,1  | 318,3      | 21,7  | 361,7      |
| 15           |     | 8,8              | 97,8       | 10,8 | 120,0      | 12,0 | 133,3      | 13,7 | 152,2      | 16,1 | 178,9      | 18,5  | 205,6      | 20,1  | 223,3      | 22,2  | 246,7      | 25,2  | 280,0      |
| 20           |     | 9,6              | 80,0       | 11,9 | 99,2       | 13,3 | 110,8      | 15,1 | 125,8      | 17,7 | 147,5      | 20,4  | 170,0      | 22,2  | 185,0      | 24,5  | 204,2      | 27,8  | 231,7      |
| 30           |     | 11,0             | 61,1       | 13,5 | 75,0       | 15,1 | 83,9       | 17,1 | 95,0       | 20,1 | 111,7      | 23,2  | 128,9      | 25,2  | 140,0      | 27,8  | 154,4      | 31,6  | 175,6      |
| 45           |     | 12,4             | 45,9       | 15,2 | 56,3       | 17,0 | 63,0       | 19,3 | 71,5       | 22,7 | 84,1       | 26,1  | 96,7       | 28,4  | 105,2      | 31,4  | 116,3      | 35,6  | 131,9      |
| 60           | 1   | 13,4             | 37,2       | 16,5 | 45,8       | 18,4 | 51,1       | 20,9 | 58,1       | 24,6 | 68,3       | 28,3  | 78,6       | 30,8  | 85,6       | 34,0  | 94,4       | 38,6  | 107,2      |
| 90           | 1,5 | 15,0             | 27,8       | 18,4 | 34,1       | 20,6 | 38,1       | 23,4 | 43,3       | 27,5 | 50,9       | 31,6  | 58,5       | 34,4  | 63,7       | 38,0  | 70,4       | 43,1  | 79,8       |
| 120          | 2   | 16,1             | 22,4       | 19,9 | 27,6       | 22,2 | 30,8       | 25,2 | 35,0       | 29,6 | 41,1       | 34,2  | 47,5       | 37,1  | 51,5       | 41,0  | 56,9       | 46,6  | 64,7       |
| 180          | 3   | 17,9             | 16,6       | 22,1 | 20,5       | 24,7 | 22,9       | 28,1 | 26,0       | 32,9 | 30,5       | 38,0  | 35,2       | 41,3  | 38,2       | 45,6  | 42,2       | 51,7  | 47,9       |
| 240          | 4   | 19,3             | 13,4       | 23,8 | 16,5       | 26,6 | 18,5       | 30,2 | 21,0       | 35,5 | 24,7       | 40,9  | 28,4       | 44,4  | 30,8       | 49,1  | 34,1       | 55,7  | 38,7       |
| 360          | 6   | 21,4             | 9,9        | 26,4 | 12,2       | 29,5 | 13,7       | 33,5 | 15,5       | 39,3 | 18,2       | 45,3  | 21,0       | 49,2  | 22,8       | 54,4  | 25,2       | 61,8  | 28,6       |
| 540          | 9   | 23,7             | 7,3        | 29,2 | 9,0        | 32,6 | 10,1       | 37,1 | 11,5       | 43,6 | 13,5       | 50,2  | 15,5       | 54,6  | 16,9       | 60,3  | 18,6       | 68,4  | 21,1       |
| 720          | 12  | 25,5             | 5,9        | 31,4 | 7,3        | 35,1 | 8,1        | 39,9 | 9,2        | 46,8 | 10,8       | 54,0  | 12,5       | 58,6  | 13,6       | 64,8  | 15,0       | 73,6  | 17,0       |
| 1080         | 18  | 28,2             | 4,4        | 34,8 | 5,4        | 38,8 | 6,0        | 44,1 | 6,8        | 51,8 | 8,0        | 59,7  | 9,2        | 64,9  | 10,0       | 71,7  | 11,1       | 81,4  | 12,6       |
| 1440         | 24  | 30,3             | 3,5        | 37,4 | 4,3        | 41,7 | 4,8        | 47,4 | 5,5        | 55,7 | 6,4        | 64,2  | 7,4        | 69,7  | 8,1        | 77,0  | 8,9        | 87,5  | 10,1       |
| 2880         | 48  | 36,1             | 2,1        | 44,4 | 2,6        | 49,6 | 2,9        | 56,4 | 3,3        | 66,2 | 3,8        | 76,3  | 4,4        | 82,9  | 4,8        | 91,6  | 5,3        | 104,0 | 6,0        |
| 4320         | 72  | 39,9             | 1,5        | 49,1 | 1,9        | 54,9 | 2,1        | 62,4 | 2,4        | 73,2 | 2,8        | 84,4  | 3,3        | 91,7  | 3,5        | 101,3 | 3,9        | 115,0 | 4,4        |
| 5760         | 96  | 42,8             | 1,2        | 52,8 | 1,5        | 58,9 | 1,7        | 67,0 | 1,9        | 78,6 | 2,3        | 90,6  | 2,6        | 98,5  | 2,9        | 108,8 | 3,1        | 123,6 | 3,6        |
| 7200         | 120 | 45,3             | 1,0        | 55,8 | 1,3        | 62,3 | 1,4        | 70,8 | 1,6        | 83,1 | 1,9        | 95,8  | 2,2        | 104,1 | 2,4        | 115,0 | 2,7        | 130,6 | 3,0        |
| 8640         | 144 | 47,4             | 0,9        | 58,4 | 1,1        | 65,2 | 1,3        | 74,1 | 1,4        | 87,0 | 1,7        | 100,3 | 1,9        | 109,0 | 2,1        | 120,3 | 2,3        | 136,7 | 2,6        |
| 10080        | 168 | 49,2             | 0,8        | 60,7 | 1,0        | 67,7 | 1,1        | 77,0 | 1,3        | 90,4 | 1,5        | 104,2 | 1,7        | 113,2 | 1,9        | 125,0 | 2,1        | 142,0 | 2,3        |

# Starkniederschlagshöhen und -spenden gemäß KOSTRA-DWD-2020

## Rasterfeld 62179

(Zeile 62, Spalte 179)

### Örtliche Unsicherheiten in Abhängigkeit von Wiederkehrzeit T und Dauerstufe D

| Dauerstufe D |     | Wiederkehrzeit T |     |     |     |      |      |      |      |       |
|--------------|-----|------------------|-----|-----|-----|------|------|------|------|-------|
|              |     | 1 a              | 2 a | 3 a | 5 a | 10 a | 20 a | 30 a | 50 a | 100 a |
| min          | Std | ± %              | ± % | ± % | ± % | ± %  | ± %  | ± %  | ± %  | ± %   |
| 5            |     | 13               | 13  | 13  | 13  | 14   | 14   | 15   | 15   | 16    |
| 10           |     | 12               | 14  | 15  | 16  | 17   | 18   | 18   | 19   | 20    |
| 15           |     | 13               | 15  | 16  | 17  | 19   | 20   | 20   | 21   | 22    |
| 20           |     | 14               | 16  | 17  | 19  | 20   | 21   | 22   | 22   | 23    |
| 30           |     | 15               | 17  | 18  | 20  | 21   | 22   | 23   | 23   | 24    |
| 45           |     | 15               | 17  | 18  | 20  | 21   | 22   | 23   | 24   | 24    |
| 60           | 1   | 15               | 17  | 18  | 20  | 21   | 22   | 23   | 24   | 24    |
| 90           | 1,5 | 14               | 16  | 18  | 19  | 21   | 22   | 22   | 23   | 24    |
| 120          | 2   | 13               | 16  | 17  | 18  | 20   | 21   | 22   | 22   | 23    |
| 180          | 3   | 13               | 15  | 16  | 17  | 19   | 20   | 21   | 21   | 22    |
| 240          | 4   | 12               | 14  | 16  | 17  | 18   | 19   | 20   | 21   | 21    |
| 360          | 6   | 12               | 14  | 15  | 16  | 17   | 18   | 19   | 20   | 20    |
| 540          | 9   | 12               | 13  | 14  | 15  | 16   | 17   | 18   | 19   | 19    |
| 720          | 12  | 12               | 13  | 14  | 15  | 16   | 17   | 17   | 18   | 19    |
| 1080         | 18  | 13               | 14  | 14  | 15  | 16   | 16   | 17   | 17   | 18    |
| 1440         | 24  | 14               | 14  | 14  | 15  | 16   | 16   | 17   | 17   | 18    |
| 2880         | 48  | 17               | 16  | 16  | 16  | 17   | 17   | 17   | 18   | 18    |
| 4320         | 72  | 19               | 18  | 18  | 18  | 18   | 18   | 18   | 18   | 19    |
| 5760         | 96  | 20               | 19  | 19  | 19  | 19   | 19   | 19   | 19   | 19    |
| 7200         | 120 | 21               | 20  | 20  | 20  | 20   | 20   | 20   | 20   | 20    |
| 8640         | 144 | 22               | 21  | 21  | 20  | 20   | 20   | 20   | 20   | 20    |
| 10080        | 168 | 23               | 22  | 21  | 21  | 21   | 21   | 21   | 21   | 21    |

### Parameter für abweichende T und D

#### Lokationsparameter $\xi$ (Xi)

13,79937371

#### Skalenparameter $\alpha$ (Alpha)

4,44734957

#### Formparameter $\kappa$ (Kappa)

-0,1

#### 1. Koutsoyiannis-Parameter $\theta$ (Theta)

0,03950254

#### 2. Koutsoyiannis-Parameter $\eta$ (Eta)

0,75159611

Parameter für dauerstufenübergreifende Extremwertschätzung nach KOUTSOYIANNIS et al. 1998.

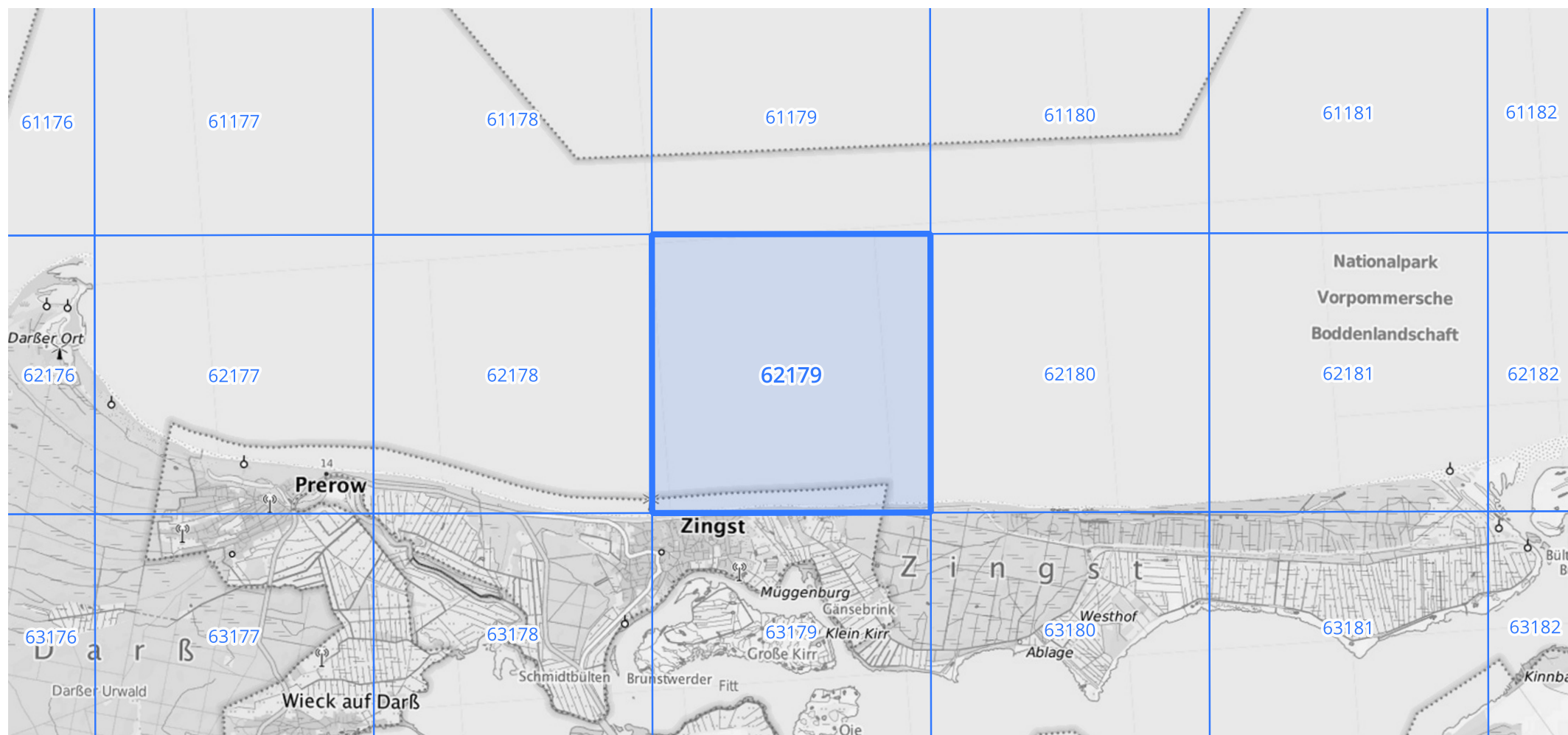
Siehe auch Anwendungshilfe zu KOSTRA-DWD-2020 des Deutschen Wetterdienstes.

## Starkniederschlagshöhen und -spenden gemäß KOSTRA-DWD-2020

## Rasterfeld 62179

(Zeile 62, Spalte 179)

## Übersichtskarte des Rasterfeldes 62179, M 1 : 100 000



Quelle Rasterdaten: KOSTRA-DWD-2020 des Deutschen Wetterdienstes, Stand 12/2022.

Seite 3 von 3

Kartendarstellung: © Bundesamt für Kartographie und Geodäsie (2023), Datenquellen: [https://sgx.geodatenzentrum.de/web\\_public/gdz/datenquellen/Datenquellen\\_TopPlusOpen.html](https://sgx.geodatenzentrum.de/web_public/gdz/datenquellen/Datenquellen_TopPlusOpen.html)

Für die Richtigkeit und Aktualität der Angaben wird keine Gewähr übernommen. Erstellt 01/2023.